

## (22) 埋設型水圧鉄管周辺岩盤のグラウチングによる改良

東京電力(株) 正会員 畠山 昭

### 1. はじめに

埋設型水圧鉄管は、内水圧を極力周辺岩盤に負担させ、鉄管厚を薄くすることが経済的となる。従来、埋設型水圧鉄管周辺岩盤の改良については、鉄管据付後に鉄管内より岩盤に削孔し、この孔より高圧グラウチング(注入圧20kg/cm<sup>2</sup>以上)を行ない、グラウチング後鉄管の孔をシール溶接する方法が一般に行なわれている。

ところが近年高落差の水圧鉄管に用いられる高張力鋼(いわゆるHT 80材、引張強度80kg/mm<sup>2</sup>)は、材質上シール溶接に欠陥が生じやすいことからグラウチングによる周辺岩盤の改良を実施せずに鉄管を据付けているのが現状である。

今市水力発電所の水圧鉄管工事では、水圧管路全線の支保工にロックボルトおよび吹付コンクリート工法採用したことにより、周辺岩盤の改良にこの吹付コンクリートを被覆層として利用した。低圧(注入圧3~5kg/cm<sup>2</sup>)グラウチングを鉄管据付前に実施した。また、この低圧グラウチングの周辺岩盤改良効果を把握するため簡易弹性波速度測定を行った。この報告は、低圧グラウチングによる周辺岩盤改良効果について、測定結果にまとめて検討したものである。

### 2. 水圧鉄管および地質の概要(図-1参照)

今市水力発電所の水圧鉄管は、全線埋設型で延長は1000m、標準内径5.5m、最大設計水頭は840mである。内水圧の岩盤負担については、延長の70%の区間で実施し、岩盤負担率の最大値は47%、鉄管板厚は、岩盤負担区間ではHT 80材で最大57mm、非岩盤負担区間ではHT 80材で最大47mm(分岐部を除く)となり、全鋼材重量は6200t、そのうちHT 80材は約60%を占めている。

水圧鉄管経過地の地質は、導水路水槽側より新生代新第三紀の月山溶岩層(輝石安山岩)、泥質岩層(泥岩と輝石岩・凝灰角礫岩の互層)、グリーンタフ層(石英安山岩、凝灰角礫岩)、中世白亜紀の酸性火成岩類(石

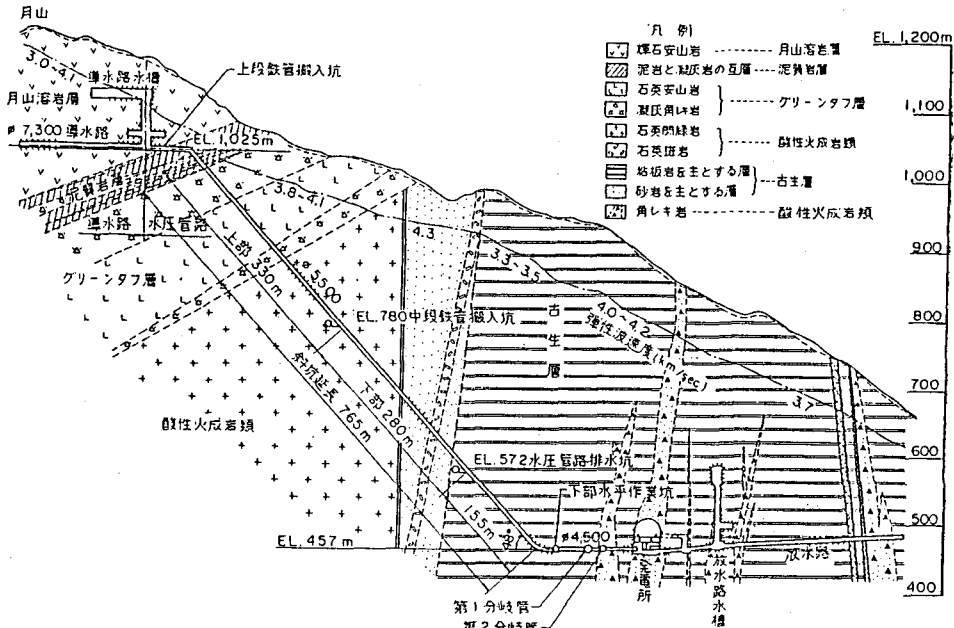


図-1 水圧管路縦断図

英閃緑岩、石英斑岩) および古生代ニ量紀の古生層(粘板岩、砂岩)である。岩盤等級は、経過地の77%がCH級以上、20%がCH級であり、破碎帯は10本程度認められたが最大幅が2m程度と小規模であり、全体的には堅硬な岩盤である。

### 3. 水圧鉄管の設計に採用した岩盤物性値

当地域の地質は、古生層から新第三紀の月山溶岩層まで広い年代にわたって分布し、また岩種も多いことからトンネル内において弾性波速度測定( $\lambda=900\text{ m}$ 、測点間隔5m)、ジャッキ試験(近傍横坑にて12個所)、ボアホールジャッキ試験(37個所)、シュミットロックハンマー-反撗度試験(132個所)を実施し、岩盤物性値の把握に努めた。これら諸試験のうち、ボアホールジャッキ試験は最も直接的な試験方法であるが、ジャッキ能力に比して岩盤が硬いため測定値のバラツキが大きく結果が得られなかつた。また、シュミットロックハンマー試験で岩盤の物性値の絶対値を論じることは問題があることから、これらの値は参考値とし、水圧管路の岩盤物性値は、弾性波速度測定値と当地域で実施したジャッキ試験結果の相関より岩種、岩盤等級ごとに定めることとした。ジャッキ試験は、中段掘入坑、水圧管路排水坑、発電所調査横坑および下部ダムサイト横坑の42個所で実施しており、このジャッキ試験個所で弾性波測度

測定を行ない弾性波速度とジャッキ試験による

変形係数の相関を求めた。(図-2)

また、トンネル内全線にわたりて5m毎にピックアップを取りつけ弾性波速度測定を行って、水圧管路沿いの岩盤を大きく岩種、岩盤等級ごとに10種類に分類し、この分類ごとにバランスを考慮し、弾性波速度の平均と偏差を求めた。

10種類に分類した岩種、岩盤等級ごとの岩盤物性値は、(平均-偏差)の弾性波速度をもとに図-2を用いて変形係数を定めた。

その結果は表-1に示すとおりであり設計に用いた岩盤の変形係数は $15 \sim 35 \times 10^{-3} \text{ kg/cm}^2$ である。

### 4 グラウチングと弾性波速度の測定

ジャッキ試験などにより把握した岩質のバラツキや、砕破によるゆるみ、岩盤の局部的な弱点を強化改善する目的で、吹付コンクリートを被覆層として利用した低圧のコンソリテーション

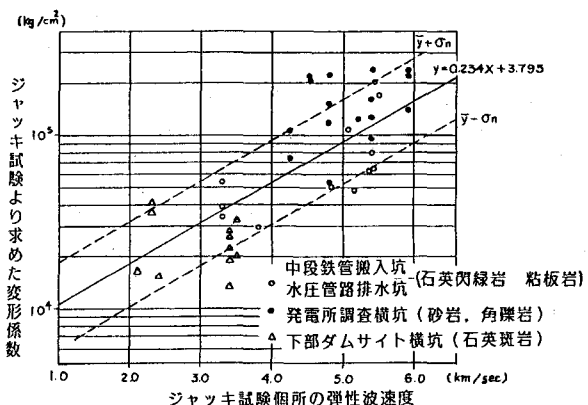


図-2 弹性波速度と変形係数の関係

表-1 岩種毎の変形係数

No.	岩種	岩組	坑内の 岩種割合	計 値	弾性波速度		弾性波速度より求めた変形係数		シムロックハンマー試験より 求めた変形係数		ボアホールジャッキより 求めた変形係数
					平均	平均-偏差	平均	平均-偏差	平均	平均-偏差	
(1)	輝石安山岩	CH	m	$\times 10^3 \text{ kg/cm}^2$	25	25	3.8	—	48	25	22 (13~31)
(2)	泥質岩	CM以上	69	15	2.7	—	26	15	12	82	—
(3)	凝灰角砾岩	CH	83		21	3.9	3.3	52	21	54 (36~90)	68 (46~85)
(4)	石英安山岩	CH	68							50 (38~102)	68 (61~78)
(5)	石英閃綠岩 (含石英斑岩)	CH	272	28	4.5	3.9	70	28	40 (18~100)	96 (36~138)	—
(6)	砂岩	CH	66	25	4.4	3.6	67	25	21 (13~36)	41	—
(7)	“	CM	36	20	4.1	3.2	57	20	17 (12~15)	39	—
(8)	粘板岩	CH	116	35	5.1	4.3	97	35	40 (26~66)	106 (36~240)	—
(9)	“	CM	70	25	4.6	3.6	74	25	37 (28~62)	59 (51~67)	—
(10)	その他	—	93	0	—	—	—	—	—	—	—
	計			898							

ングラウチングを実施した。グラウチングの標準パターンは、図-3に示すように削孔長2m、1断面/2孔で断面間隔は2mmとし、注入次数は中間内挿法により1次、2次に分け、必要に応じて断面間隔が1mmとなる追加注入(3次)を行った。同一断面内の注入では、5cm以上の孔が存在する場合には、この孔を単独注入で処理し、その後5cm以下の中孔を同時注入とした。注入圧は3~5kg/cm<sup>2</sup>とし、注入材料は早強セメントを用いた。

このグラウチング方法については、グラウチングの効果および吹付コンクリートのはく離、落盤などに対する施工の安全性を確認するため予備試験を近傍の水平トンネルで実施した。その結果、この低圧グラウチングでは、①基層堅岩部については、注入前の弾性波速度の平均値3970m/sが注入後4000m/sと変化しないことから改良効果を期待することはできない。②表層ゆるみ領域については、注入後の弾性波速度の向上が認められることから改良効果が期待できる。③施工の安全性については問題がない。ことがあきらかとなった。

表層ゆるみ領域の弾性波速度を正確にとらえには、ゆるみ領域での直接波を注入前後を通じて同一経路でとらえることが必要である。測定器は、簡易弾性波測定器(ソニックビュア)を採用した。各測定の構造は、岩盤内50cm程度の深さに先端部をモルタルで固定した鋼棒(Φ22)をウェーブガイドとして用い、測定間隔は5cmを標準とした(図-4参照)。肯定の間に位置する1対2本の鋼棒について、一方をハンマーの打撃により起振し、他方の鋼棒のプレートにピックアップを取り付けて、ハンマーの打撃によって生じた震動を受振した。この鋼棒にはスポンジ状の緩衝材を差し付く。鋼棒と孔壁とを遮断し、鋼棒先端部からの弾性波だけを受振するようにした。測定結果から弾性波速度を算出するため①鋼棒を伝播する時間、②ハンマースイッシュの遷移時間補正した。ゆるみ領域の弾性波速度 $V$ は次式であらわされる。

$$V_p = \frac{L}{T - \frac{\ell_1 + \ell_2}{v_p}} \quad \dots \quad (1)$$

ここに  $V_p$ : ゆるみ領域の弾性波速度  $\nu_p$ : 鋼鉄の弾性波速度 ( $=5,018 \text{ m/s}$ )  $T$ : 走時(立ち上がり時間+遅延時間)  $L$ : 固定端間距離  $L_1, L_2$ : 鋼鉄の長さ

測定を行った岩種は、古生層および酸性火成岩類の53区

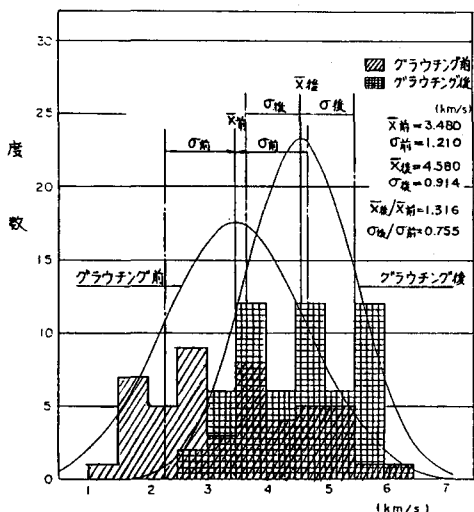
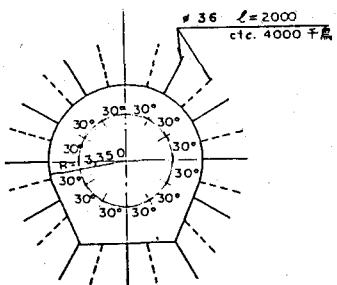
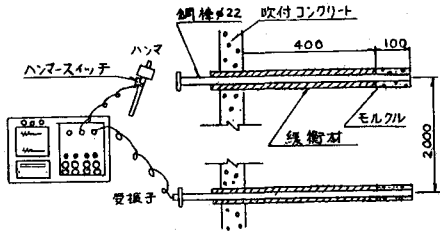


図-5 ゆるみ領域の弾性波速度のヒストグラム



### 図-3 グラウチングパターン



#### 圖一四 測定方法

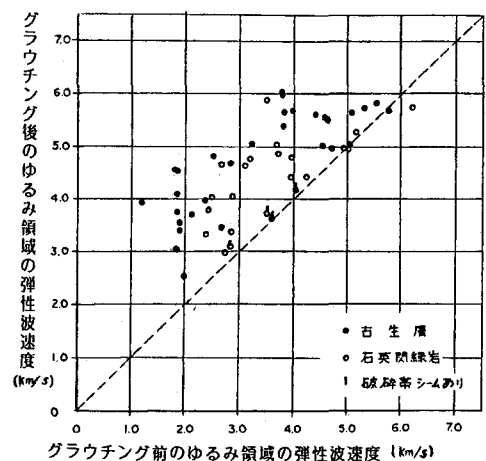


図-6 グラウチング前後のゆるみ領域の弾性波速度

面である。

簡易弾性波測定器による表層ゆるみ領域の測定結果を図-5～図-7に示す。これによれば、①表層ゆるみ領域の弾性波速度の平均値は、グラウチング前3480m/sがグラウチング後4580m/sと32%向上し、標準偏差は210m/sから914m/sと76%に減少している。②グラウチング後の弾性波速度の上限値は5800m/s程度と推定され、クラックがほとんどない堅硬な岩盤がこれに相等するものと考えられる。グラウチング前の弾性波速度が50m/s以上の場合は、この堅硬な岩盤が一部残っており、クラックが注入材料により填充されれば注入後の弾性波速度はこの上限値まで向上することが可能となるが、グラウチング前の弾性波速度が50m/s以下の場合、周辺全体がクラッキーとなっており、このクラックを注入材料で完全に填充することが困難なことにより上限値までの改良ができないものと判断される。しかし注入前の弾性波速度が50m/s以下の改良効果は大きく、注入前の平均値約10m/sが3980m/sと72%向上している。③注入前後の弾性波速度增加率は、グラウト注入量からの推定が困難である。グラウト注入は岩盤のクラックの改変に有効に働いているが、弾性波伝播経路の短縮には至らないためと判断される。

#### よ、変形係数の改良効果

表層ゆるみ領域の改良による周辺岩盤の変形係数の向上基層と表層の弾性波速度値より次の仮定を設けて推定した。①基層の弾性波速度は、グラウチングにより変化しない。②基層では同一弾性波速度に対する変形係数のバラツキは無いものとする。③表層の弾性波速度は簡易弾性波測定器による値を用いる。④岩盤変形係数と弾性波速度の関係は、図-2による。

基層と表層を合わせた等価な変形係数は、上記の仮定をもとに二重円環理論により次式で求める。

$$\frac{1}{D} = \frac{1}{D_B} + (1-L) \frac{1}{D_S} \ln \frac{b}{a} \quad \dots \dots \dots (2)$$

ここに  $D_B$ : 基層の変形係数、 $D_S$ : 表層の変形係数  $L$ : ポアソン比  $a, b$ : 鉄管中心より表層あるいは基層までの半径。

計算結果を図-8に示す。この図は表層の厚さを1mと仮定した場合であるが、グラウチング後の変形係数は、グラウチング前と比較すると平均値で1.13倍、標準偏差で0.464倍となっている。これよりグラウチング前後の(平均±標準差)による変形係数を比較するとグラウチング後はグラウチング前の1.5倍となる。

以上、俗にグラウチングによつても岩盤の改良は可能であり、弾性波速度測定によりグラウチング効果の把握が可能となり、変形係数の向上が推定できることがわかった。

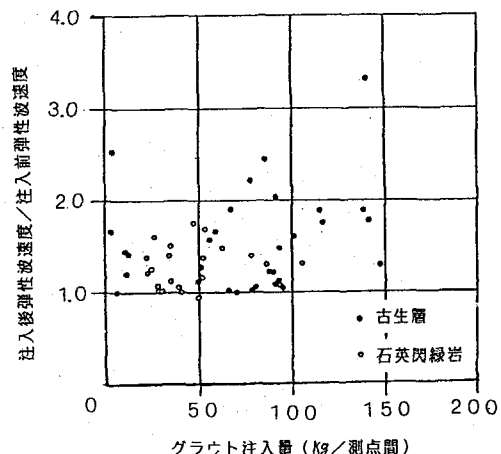
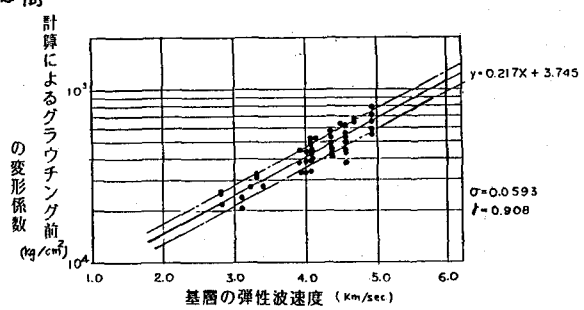
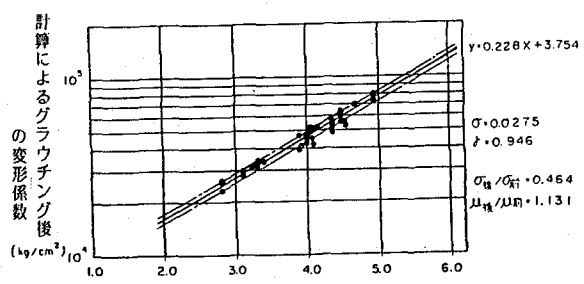


図-7 弾性波速度増加率とグラウト注入量の関係



グラウチング前(表層のゆるみ領域1mの場合)



グラウチング後(表層のゆるみ領域1mの場合)

図-8 基層の弾性波速度とグラウチング前後の変形係数

(22) IMPROVEMENT OF ROCK AROUND PENSTOCK BY GROUTING

Tokyo Electric Power Co., Inc.

Akira Hatakeyama

The embedded penstock at Imaichi hydropower station has a maximum design head of 840 m, a diameter of 5.5 m and a length of 1,000 m. Prior to the installation of the steel pipe, low-pressure (3 ~ 5 kg/cm<sup>2</sup>) grouting was carried out by making use of the shotcrete layer, since shotcrete and rock bolts were employed as supports of the tunnel for the penstock.

The measurements of seismic wave velocity have proved that the loosened zone near the surface due to blasting can be improved by grouting, while the bedrock can not be improved.

In order to closely evaluate the velocity of the loosened zone before and after grouting, a simplified method utilizing re-bars and a hammer was developed. The results show the following.

- (1) Grouting increased the average of velocity by 32% and decreased its standard deviation by 24%.
- (2) A zone of more than 3,500 m/s can be improved by grouting to as much as 5,800 m/s.
- (3) The increase rate of the velocity due to grouting cannot be estimated by the amount of grout.

Correlation between the velocity and Young's modulus of the rock mass was obtained through 42 in-situ jack tests. Based on the correlation and the above-mentioned results, the equivalent Young's modulus of the rock mass was obtained by the theory of double thick wall cylinders. The results showed that the average of Young's modulus and its standard deviation were multiplied by 1.13 and by 0.46 respectively due to grouting and that the Young's modulus value of average minus standard deviation used in the design of this penstock was multiplied by 1.5 after grouting.